

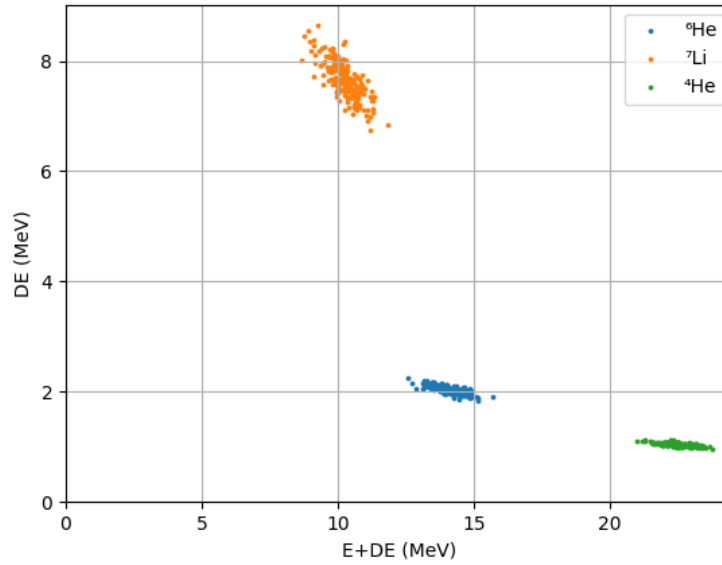
# Planejamento do experimento ${}^6\text{He}+{}^9\text{Be}$

## Informações de entrada

- Feixe primário:  ${}^7\text{Li}$   $E_{lab} = 22.1\text{MeV}$
- Reação de produção:  ${}^9\text{Be}({}^7\text{Li}, {}^6\text{He})$
- Feixe de interesse:  ${}^6\text{He}$   $E_{lab} = 15.7\text{MeV}$
- Contaminantes:  ${}^7\text{Li}$   $E_{lab} = 13.5\text{MeV}$  —  ${}^4\text{He}$   $E_{lab} = 23.6\text{MeV}$
- Alvo primário:  ${}^9\text{Be}$   $16.0\mu\text{m}$  — Alvo secundário  ${}^9\text{Be}$   $10.7\mu\text{m}$
- Detector dE:  ${}^{28}\text{Si}$   $20.0\mu\text{m}$  — Detector E:  ${}^{28}\text{Si}$   $500.0\mu\text{m}$
- Corrente no solenoide 1:  $35.0\text{A}$  — Corrente no solenoide 2:  $30.2\text{A}$
- Tensão no terminal:  $5.5\text{MV}$  — Absorvedor:  ${}^9\text{Be}$   $6.0\mu\text{m}$

## Gráfico biparamétrico

- Número de iterações: 200
- Ângulo do detector:  $15^\circ$



## Perdas de energia por ângulo ${}^6\text{He}+{}^9\text{Be}$

Alvo secundário ${}^9\text{Be}$ $10.7\mu\text{m}$					Detectores	
$E_{\text{entrada}}$	$E_{\text{meio}}$	Theta	$E_{\text{reação}}$	$E_{\text{saída}}$	dE	E
15.717	15.297	3°	15.69	15.27	1.91	13.36
		6°	15.6	15.18	1.91	13.27
		9°	15.46	15.03	1.93	13.1
		12°	15.26	14.82	1.95	12.87
		15°	15.01	14.56	1.98	12.58
		18°	14.71	14.24	2.01	12.23
		21°	14.36	13.88	2.05	11.82
		24°	13.97	13.46	2.1	11.36
		27°	13.54	13.0	2.16	10.84
		30°	13.07	12.51	2.23	10.28
		33°	12.57	11.97	2.31	9.67
		36°	12.04	11.4	2.41	8.99
		39°	11.49	10.8	2.53	8.28
		42°	10.93	10.17	2.66	7.51
		45°	10.35	9.53	2.8	6.72
		48°	9.77	8.86	3.0	5.86
		51°	9.18	8.14	3.21	4.93
		54°	8.6	7.42	3.5	3.92
		57°	8.03	6.68	3.85	2.82
		60°	7.46	5.88	4.36	1.52
		63°	6.92	5.05	4.93	0.12
		66°	6.39	4.11	4.11	0
		69°	5.89	3.02	3.02	0
		72°	5.41	1.6	1.6	0
		75°	4.96	0	0	0
		78°	4.53	0	0	0
		81°	4.14	0	0	0
		84°	3.77	0	0	0
		87°	3.43	0	0	0
		90°	3.13	0	0	0